

- (8) Die Biegebruchspannungen des Eisenbetonbalken, B. u. E., Heft 19, 1936.
- (9) Die Bruchspannungen und die zulässigen Randspannungen in rechteckigen Eisenbetonbalken, B. u. E., Heft 13, 1936.
- (10) 弾率比に依らざる鐵筋コンクリート部材の強度, 土木學會誌, 第 25 卷第 8 號。
- (11) Aktuelle Fragen des Eisenbetonbaus, Schweizerische Bauzeitung, Jan. 1937.
- (12) Bemerkungen zum Aufsatz von R. Maillart über Aktuelle Fragen des Eisenbetonbaus, Schweizerische Bauzeitung, Mai. 1938.
- (13) Prüfung von Balken zu Kontrollversuchen, Heft Deutscher Ausschutz für Eisenbeton, 1912.
- (14) Berechnung der Eisenbetonbalken unter Berücksichtigung der Schwindspannungen im Eisen, B. u. E., Heft 9; 1934.
- (15) Mörsch; Der Eisenbetonbau, 1 Bd., 1 Hälfte, p. 39.
- (16) Heft 10, Deutschen Ausschutz für Eisenbeton, 梁番號 15.
- (17) P. Saliger, Der Eisenbeton p. 345, 梁番號 17.
- (18) Mörsch; Der Eisenbetonbau, 1 Bd., 1 Hälfte, p. 211.
- (19) 塑性理論を用いた鐵筋コンクリート床版の設計例, 内務省土木試験所概報第 12 號, p. 7.
- (20) H. Olsen Über den sicherheitsgrad von hochbeanspruchten Eisenbetonkonstruktionen, S. 78, Tafel 15
梁番號 A₁₋₃. (昭 23, 8, 5. 受付)

堰堤コンクリートの強度規準並びに剪断強度に就て（其の一）

正員　畠　野　正*

Strength Standard and Shearing Strength of Dam Concrete (I)

By Tadashi Hatano, C. E. Member

要　旨

堰堤コンクリートの強度は従来壓縮強度を以て、その標準とてゐるが、應力状態が二次元的乃至三次元的であるコンクリート堰堤の場合に於ては剪断強度(その面に作用する剪断力との關聯に於て)を以て規準とすべきであることが述べ、更に従來の剪断強度に關する理論及び實験が、コンクリート堰堤の場合には適用されない旨を指摘し、筆者の新しい剪断強度試験法を述べたものである。

Summary.

The writer states, that heretofore compression strength has been the Strength standard of dam concrete, but that the proper standard should be shearing strength (in relations to the normal pressure on the surface) in case of dam concrete where the stresses are 2-dimensional or 3-dimensional. He explains his own new examination method of shearing, pointing out that the usual theory and experiments on shearing strength is not applicable to dam concrete.

目　　次

- | | |
|-----------------------|-------------------|
| 1. 緒　　言 | 5. 堤防コンクリートの強度の規準 |
| 2. 従来のコンクリート剪断強度理論の検討 | 6. 結　　語 |
| 3. 従来のコンクリート剪断強度試験の検討 | 附　　記 |
| 4. 堤防コンクリート剪断強度試験の提案 | |

* 日本發送電電力技術研究所員。

1. 緒 言

從來堰堤コンクリートの強度の規準として、所謂壓縮強度が採用されてゐる。即ち堰堤の内部應力を計算します（主應力曲線を求めて、その主應力の大きさに應じてコンクリート）等を設計、施工してゐる。

然るにコンクリートの壓縮試験に於ける破壊は一般に剪断によつて起るとせられ、壓縮そのものによつて破壊するものではない。即ち壓縮試験によつて得られた所謂壓縮強度とは壓縮の強度そのものを示すものではなく、この強度に何程かの誤差の強度そのものを示すものではなく、この強度に何程かの係数をかけた値が剪断強度を示すものであると云ふ事である。コンクリートの内部に於ける應力状態が、主として一方向のみに大なる壓縮應力を生ずる場合はこれと 45° の方向に壓縮力の $\frac{1}{2}$ 程度の剪断應力が生ずる。此の應力状態が壓縮試験の際の應力状態と略々相似的であるとして、剪断應力そのものを取りあげて比較する代りに壓縮應力を比較してゐるのである。即ち若し最大剪断應力によつて破壊するものと假定すれば前述の係数は0.5と云ふ事になるのである。

然るにコンクリートの内部應力が三次元的乃至三次元的に分布する場合は、上述の関係は必ずしも成立しない。

2. 従来のコンクリート剪断強度理論の検討

コンクリートの剪断強度に關しては O. Mohr, Rausch, Mörsch 等によつて論ぜられてゐる。

O. Mohr は図-1 の如く壓縮試験、引張試験に於ける Mohr の圓を書き、この共通切線が破壊剪断力を示す包絡線なりとし σ が0なるときの破壊剪断力 τ_0 を圖から計算して次の如くおいてゐる。

$$\tau_0 = \frac{1}{2} \sqrt{\sigma_c \sigma_t}$$

こゝに σ_c は壓縮強度 σ_t は引張強度である。

Rausch はこれに對し實際の剪断試験に於ては図-2 の如く α なる角度だけ傾いた方向に力がかかるとして、上式を修正し次式を求めてゐる。¹⁾

$$\tau = \frac{\sigma_c}{\sigma_c + \sigma_t} \sqrt{\sigma_c + \sigma_t} = \sqrt{\sigma_c \sigma_t}$$

σ_t は大體 σ_c の $\frac{1}{10}$ に近いから、

$$\tau_0 = 0.15\sigma_c, \quad \tau = 0.3\sigma_c$$

となつて、大體に於て從来の多くの實驗結果に近い値を示すとしてゐる。

以上から明な様に O. Mohr, Rausch の理論式は共に剪断面に於ける直應力 σ の0なる場合の値である。この場合の應力状態は図-1 の Mohr の圓-2 によつて表される。

例へば二次元應力状態に於て、互に直角に方向から同じ大きさの壓縮が作用して居れば剪断力は0となる。

二方向の壓縮力に差があればその差に應じて剪断力が生ずる。従つてかかる場合に一方向の最大應力のみを取りあげて論ずる事は無意味な事である。この場合は最早壓縮試験の際に於ける應力状態と相似的でないものであるから、剪断應力そのものを取りあげて、これに適合したコンクリートを定めなければならないのである。この場合剪断強度がその面に作用する直應力と關係するから、この點を考慮せねばならぬことは勿論である。即ち換言すれば、剪断強度はその面に作用する直應力の函数であるから、直應力の大きさに従つて一定の剪断強度をもつコンクリートを設計しなければならないのである。

上述の議論は堰堤の場合を考へて、引張應力を生じないものとして、述べたものであるが引張應力を生ずる場合は引張強度を規定として考慮に入れなければならぬことは云ふ迄もない。

以上の如く堰堤コンクリートに於ける剪断強度の問題は最も基本的なものであるが、從來此の問題に對する研究は極く少ないものの様である。一般の鐵筋コンクリート工學に於ては、剪断力がある一定値以上になると斜張應

1) 2) Bauingenieur 1931.

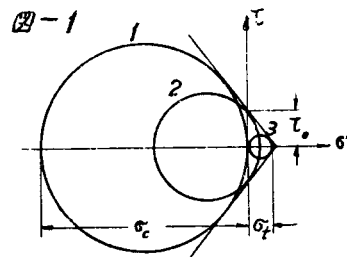
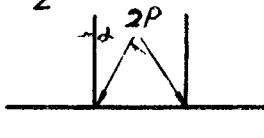


図-2



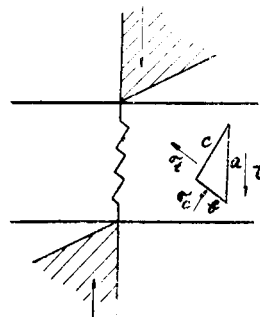
力が大となつて破壊すると云ふ關係から、剪断應力の最大限度を定めて居るに止り、剪断强度そのものを考究しない。そして又上述少數の剪断强度に關する研究も、ある特種の場合のみを取あげて論ぜられ、實驗されてゐるもののみであつて、その大部分は「剪断强度は所謂壓縮强度の二割乃至三割程度である」と云ふ結果を出して居るのである。従つてこの値では壓縮試験との關係が明でない。

筆者は以上の意味から、從來の剪断强度に關する理論及び實驗を検討し、更に筆者の實驗法を述べ、次で堰堤コンクリートの強度の安全率を如何に定むべかに就き考へたい。即ち必ず引張を伴ふ應力狀態である。

然るに堰堤コンクリートの應力狀態は一般には引張を伴はない場合を考へる。即ち圖一の Mohr の圓より左側にある圓に示される應力狀態を取扱ふのが一般である。従つて $\sigma=0$ の場合の τ_0 、 τ の値よりも左側の部分の破壊の包絡線が如何になるかが問題になるのである。この包絡線が如何なる形をなすものかは實驗的に定められねばならぬ問題である。

次に Mörsch の理論に就て考へて見よう。Mörsch はコンクリート梁を直接剪断し、これに對して次の如く考察した。

図一



剪断面に於ける破壊は圖一の如く鋸歯状をなして居るとして、これを直角三角形と考へる。この三角形の三邊に夫々 τ 、 σ_c 、 σ_t の應力が働きこれが同時に破壊強度に達して破壊する。今この三角形の安定を考へると、

$$\tau = \sqrt{\sigma_c \sigma_t}$$

となつて Rausch の與へた式と一致する。

Mörsch のこの考へが一般性を有するか否かは問題であるし、又これも剪断面に於ける直壓力 0 の場合の議論である事は Mohr, Rausch と同様である。

以上の如く
従来のコンクリートの剪断強度に關する

理論は、堰堤コンクリートを取扱ふ場合にとつて甚だ不満足であると云ふはねばならない。

3. 従来のコンクリート剪断強度試験の検討

従来行はれたコンクリートの剪断強度試験は大體振り試験と直接剪断試験に大別される。

單なる振り試験に於ては軸に 45° の方向に引張應力を生じ、これによつて破壊するから、こゝではこれを取上げる事を省略し、従来行はれた主要な直接剪断試験の大要を記して見ると表一の様になる。

これらはすべて點線で示した斷面で、剪断したものとして全體の荷重を斷面積で平均し剪断強度としてゐるのである。①②③の方法では下邊支持臺に幅があるが、荷重の増加と共に曲げの影響によつて梁の端部は上昇し、圖一の如きの状態になると考へられる。即ち下邊に於ては點支持に近い状態になる。

上邊の荷重を加へる幅がある程度以上になる

表一 (福田教授 鉄筋コンクリート理論
坂教授 鋼筋コンクリートの設計)

試験名	剪断試験法	圧縮試験法	安全率
① グロース リヒターフィル 試験所		30cm正方形 体による。	0.3 ~ 0.5
② ルシル			0.23 ~ 0.22
③ グラフ	全上		0.23
④ スポットード		13cm往46cm長 の内肩による。	0.63 ~ 1.24
⑤ 坂教授		15cm往30cm長 の内肩による。	0.24 ~ 0.16

と、點線で示す面で剪断される前に下邊の中央部に曲げ破壊が生ずる。更に荷重を増加することによって點線に沿ふて剪断されるのである。

従つて破壊時に於ける應力の状態は⑤の場合と略々近似したものとなるのであらう。⑥の場合の如く載荷の幅が梁の厚さに比し充分小さいときは、剪断面に於ける曲げの影響は非常に小さくなり、剪断應力 τ_{xy} と鉛直方向の壓縮應力 σ_y が支配的になる。

従つてこれを Mohr の圓で表すと、圖一の圖 2 の如くなるであろう。即ち剪断面に於ては剪断應力 τ_{xy} が大きいが、剪断面とある角度をなした面上に引張應力が生ずる。破壊がこの何れによつて生ずるかは斷定出来ないが、何れにしても破壊時の剪断面に於ける剪断應力は τ_{xy} であり、剪断面に垂直に作用する σ_x は 0 に近いと考へられる。即ち以上の實驗はすべて直應力 0 の場合の剪断強度であつて堰堤の場合には用ひられないものである。

次に④の方法は曲げの影響がない點で前者と異なるが、同一コンクリートに就て著しく異つた結果を興へてゐる點で信頼性が少い。

4. 堰堤コンクリート剪断強度試験の一案

前節迄に述べた所によつて、堰堤コンクリートに於て直應力を受けた場合の剪断強度を求めるねばならぬことが明になつた。筆者はこの一方方法としてコンクリート梁を軸方向に壓縮しつゝ直接剪断する方法を取つた。この要領を圖示すると圖一-5 の如くである。

即ちコンクリートの梁の両端に鋼板をあて、一方の端には更に壓力計を附してその外側に鋼板をあてる。

之等の鋼板を充分大きなボルト及びナットに上つて壓力計を通じて、コンクリート梁に止めつける。

かくの如く軸應力を加へられた狀態に於て、梁を直接剪断するのである。

この場合の應力状態を厳密に計算する事は困難な事があるので、大體如何なる傾向になるかを考へて見よう。次の機會に述べる實驗報告に詳説するが、筆者の用いたコンクリート梁は 10cm 角、60 cm 長のもので、上邊の荷重を加へる鐵製ブロックの幅は 10cm、下邊支持の鐵製ブロックの幅は 5cm である。

梁の両端に鋼板をあてることなしに直接剪断すると圖一-4 に於て説明した様に両端が上昇し、先づ第一に中央部に曲げ破壊が生ずる。更に荷重を増加すると點線に沿ふて剪断される。

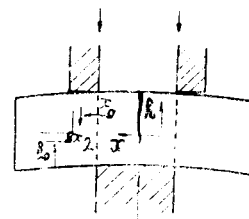
即ち圖一-4 の如き状態になると、梁の中央下邊に最大の引張應力が生ずる事が知られる。

次に梁の両端に鋼板を附し、軸應力を加へて剪断すると、剪断の荷重がある程度以上になる迄は梁の端部の上昇が認められないが、破壊荷重の附近に於て次第に端部の上昇が生ずる。これは $\frac{1}{100}$ mm、讀のダイアルゲージによつたのであるが、結局破壊時に於ては圖一-4 の如き状態になる事を示すものである。但しこの際は梁中央部には曲げ破壊を生じないで、點線に沿ふて剪断されるのみである。即ち軸應力によつて引張應力が消される事を示してゐる。前述の如く中央部の引張應力が最大と考へられるから、この部分が引張破壊を生じない時は梁の全長に亘つて、 x 方向の引張應力によつては破壊を生じない事になる。従つて、點線に示す剪断面上の應力は剪断應力が支配的である。

梁の端部が上昇するから、下邊は點支持の状態に近くなる。又、軸應力を加へない時には曲げ破壊を生ずるから上邊の荷重は分布荷重であると考へられる。然し鐵製ブロックによつて荷重を加へるのであるから、この接觸面の變位は一様となり、この結果加壓鐵製ブロックの下の垂直荷重の分布は端部に大に中央に小となる考へられる。

この荷重 ω の分布の状態を書いて見ると圖一-6 の如くなるであらう。この様に荷重分布の幅が梁の厚に比べて小さな時は剪断面に於ける剪断應力 τ_{xy} の分布は圖の如く急激な變化を示すであらう。(例へば Coker & Filon

圖一-4



圖一-5

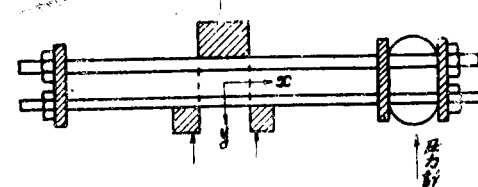
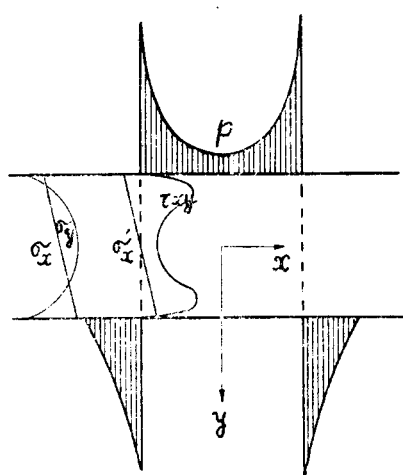


Photo-Elasticity p. 468)

図-6



次に剪断面に於ける y 方向の軸應力 σ_y は上下邊の荷重分布に従つて圖の如く變化するであらう。又剪断面の x 方向の軸應力 σ_x を軸應力によるものと、上下邊の荷重によるものとの和と考へれば後者によるものは曲げによるものであるから、荷重分布が點荷重に近い以上その値 σ'_x は非常に小さいと考へられる。

一方軸應力は、剪断面附近では充分均等に近いと考へられるから、これと σ'_x を加算した σ_x は梁の全厚さを通じて大なる變化はないと考へられる。

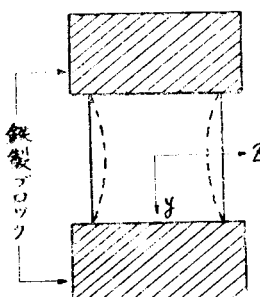
かくして剪断面に於る應力は、全軸應力を斷面で平均した値に近い σ_x と複雑な變化をなす τ_{xy} となる。今この τ_{xy} で破壊すると假定するに、 τ_{xy} の分布があまり急激な變化がない時は破壊の際に全斷面が充分塑性となり、破壊直前には全斷面につき一様の剪断破壊強度に達する。従つて此の場合には、剪断荷重を剪断面積で平均することによつて眞の剪断強度が得られる。

τ_{xy} の分布が急激な變化をなす場合は、全斷面が充分塑性になる前に最大剪断應力の部分で破壊し、これが全斷面に及ぶ時になるであらう。従つてこの際剪断荷重を断面で平均する時は眞の剪断強度よりも小なる値を求める所になり、安全側をとる事になる。

次に剪断面に於ける應力 σ_x , σ_y , τ_{xy} の三者を組合せた場合、軸應力 σ_x , σ_y の大きさ如何によつて垂直の剪断面とある角度をなした面上に引張應力が生ずる場合がある。かゝる場合には引張力、剪断力の何れによつて破壊が生じたかを断定することは困難である。然しながら、若し引張應力によつて破壊したとしても、図-6 の點線で示した剪断面に於ける剪断應力は τ_{xy} であり、それに直角方向の應力は σ_x である。

従つて σ_x なる軸應力を受けてゐる場合の剪断強度は τ_{xy} 以上でなければならぬ。故にこの場合剪断荷重を断面積で平均してこれを剪断強度とする時は安全側である。

図-7



以上の考察はすべて三次元的であるが、實際の應力状態は三次元的である。圖-5 に示す様に剪断荷重は鐵製ブロックによつて加へられるのであるが、荷重が大きくなると xy 面に平行な梁の面がふくれ上つて来る。即ち圖-7 に示す z 方向に變形を許してゐるのである。

則に荷重を増加して破壊した後の状態をみると圖-5 の點線で示した剪断面に沿ふては略々平面的に切れるが、この切斷面に圖-7 の點線で示す如き割れ目が見られる。す度立方體のコンクリート供試體を縦破壊した時の状態に似てゐる。即ち剪断面(xy に平行な面)に於ける剪断強度は軸應力をうける爲に、直應力のない xy 面に平行な面に於ける剪断強度より大となつて、先づ圖-7 の點線で示した様な割れ目が入り、然る後に剪断面で略々平面的に剪断されると考へられる。

即ち破壊時に於ては剪断面に於て剪断力を分擔する部分は全體の面積より幾分小さな部分と考へられる。

従つて、全體の面積で平均して剪断強度を出す事は安全側であると云へる。

以上の考察によつて、軸應力を加へながら、剪断し剪断荷重を断面積で平均することによつて剪断強度を定めようとする方法が、すべて安全側の結果を與へるものである事が明になつた。

筆者は以上の方法に上つて、各種のコンクリートに就き、直應力と剪断強度との関係を求める所であると思ふ。

5 堤堰コンクリートの強度の規準

前節に述べた方法に従つて、任意の直應力を加へた場合の剪断強度を求め、直應力を水平軸に剪断強度を垂直

軸にとつて直壓力に對する、剪断強度の點を結び一つの曲線を得たとする。これらの點は破壊時の應力を表す Mohr の圓の上の一點であると考へられるから、これを結んで得た曲線は Mohr の破壊の圓の包絡線を示すが、又はその内側にある曲線を示す事になる。從つてこの曲線を以て包絡線とすることは、剪断強度を論ずる上に於て安全側であると言ふ。

今あるコンクリートに對し、この曲線が得られたとし、これによつて一つの應力狀態に對し、そのコンクリートが如何なる安全率を有するかを定めんとするに、次の二方法を考へる。

その第一は、考へる應力狀態に於て最も危險と考へられる面上の剪断應力、壓縮應力を τ_0, σ_0 とする。これに對し Mohr の破壊の圓の包絡線

$$\tau = f(\sigma)$$

上の σ_0 に対する破壊剪断強度を τ とする。この τ と τ_0 の比を以て安全率 n とするのである。

即ち圖-8 に於て、圓-1 を與へられた應力狀態を表す Mohr の圓とする。破壊の包絡線 $\tau = f(\sigma)$ を垂直方向に平行に移動して圓-1 に切せしめ、この切點の表す應力を σ_0, τ_0 とする。次にこの切點を通る垂線と包絡線との交點の表す應力を σ_0, τ とする。この τ と τ_0 を用いて安全率 n を次の如くおくのである。

$$n = \frac{\tau}{\tau_0}$$

今 σ_0, τ の點で包絡線に切する Mohr の圓-2 を考へるにこの切點の示す面即ち主應力の方向と角 α をなす面に於てその應力が σ_0, τ となつて破壊するのであるから、Mohr の圓-1 に於て同じ面即ち主應力と角 α をなす面を以て最も危險な面とするのである。圖から明な様に n は兩圓の半徑の比に等しい。從つて上述の如く安全率を考へる事は最も危險と考へられる面上に於て、壓縮應力 σ_0 を一定にしておいて、剪断應力を如何程増大した時に、破壊すると云ふ度合を考へる事になるのである。

安全率を定める第二の方法は、與へられた應力狀態に於る最小主應力を一定にしておいて、最大主應力を増大して破壊せしめる。この時の破壊の剪断應力と與へられた應力狀態に於る最も危險な面に於る剪断應力との比をとつて安全率とするのである。

即ち圖-9 に於て、圓-1 の最小主應力 σ_1 點を通つて $\tau = f(\sigma)$ に切する破壊の圓-2 を描き、各々の切點の示す剪断應力 τ, τ_0 の比を以て安全率 n を表す。この場合も圖から明な様に兩圓の半径の比が n に等しいのである。

以上の二方法が從來の方法を如何に異なるかを示す爲に Mohr の圓を用ひて説明して見よう。

從來の方法は壓縮試験即ち圖-10 に於る圓-2 に示される如く常に 0 なる最小主應力の下で $\tau = f(\sigma)$ に切する時の最大主應力 p を以てその強度としてゐる。そして與へられた應力狀態圓-1 の最小主應力 σ_1 に關せず常に σ_2 を以て安全率としてゐるのである。

この方法は明に不合理である。 σ_2 が如何程大きくても σ_2 と σ_1 の差が小さければ、破壊の包絡線 $\tau = f(\sigma)$ と圓-1 との距離は大となつて安全度が大きいのである。

圖-8

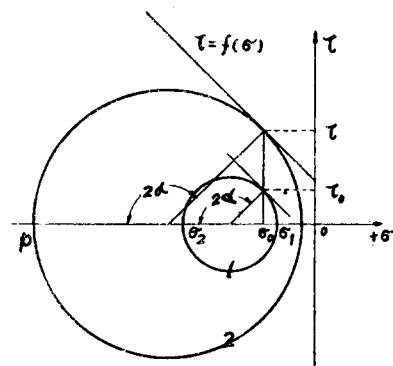


圖-9

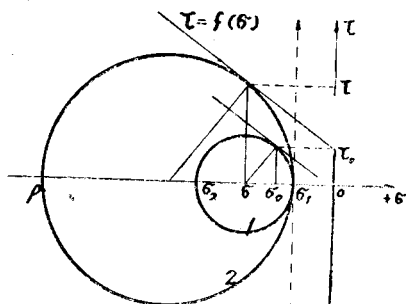
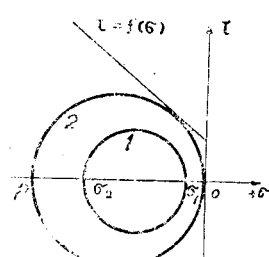


圖-10



即ち安全率は前述第一・第二の方法の如く Mohr の図-1 と破壊の包絡線 $\tau = f(\sigma)$ との距離に基づいて定めらるべきである。

次に前述第一・第二の方法を比較して見よう。図-8, 9 から明な様に第二の方法による安全率が大なる値を與へる。又 $\sigma_1 = 0$ なる場合即ち一軸的に主なる應力が作用してゐる場合の安全率は第二の方法による場合、從来の安全率の値と一致するのである。一軸的に主なる應力が作用してゐる場合の從来の安全率の考へ方は、その主應力が何倍に増加した時に破壊するかと云ふ度合を示すものであり、この時これに直角方向の應力は常に 0 としてゐるのである。これらは関係は図-9 に於て $\sigma_1 = 0$ とした場合即ち τ の座標軸を點線で示した場合に相當するのであつて、從来の安全率は p/q 即ち圖-2, 1 の半徑に等しい。従つて第二の方法による安全率と一致するのである。

以上の如く、第二の方法は應力が主として一軸的なる場合にも延長して使用出来る便宜があるのであるが、第一の方法が一つの最も危険な面に就て考へると云ふ點に於て便利であると思はれる。

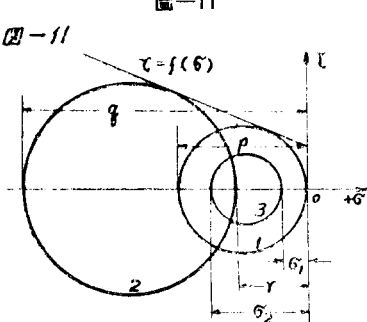
故に第一の方法を用ひる場合、從来の一軸的安全率と關聯をつける爲には、 $\sigma_1 = 0$ のときの第一の方法による安全率を n_1 とし、從来の方法即ち $\sigma_1 = 0$ のときの第二の方法による安全率を n_2 として、兩者の比 n_2/n_1 なる係數を第一の方法による安全率 n に掛けて換算するのも一法であると考へる。

6. 結語

以上述べた所に従つて、各種コンクリートに就き實驗を行つて居るが、この結果は次の機會に述べたいと思う。
(未完)

附 記

筆者が本文を草した時、同僚吉越技師より、同様の考へが既に Kammüller によつて述べられてゐるとの注意をうけた。Kammüller の著書 “Die Theorie der Gewichtsstaumauern” を読んで見ると、彼は Anstrengung なる概念を提唱して次の如く取扱つてゐる。



即ち図-11 に於て $\tau = f(\sigma)$ をコンクリートに對する理想的な破壊の包絡線と想定する。次に最小主應力が 0 なる破壊の Mohr の図-1 と最小主應力 τ なる破壊の Mohr の図-2 を書き τ を種々に變化せしめて p/q に對する p/q の値を求めて一つの曲線を得る。

次に堰堤の主應力曲線から各點の最小最大主應力 σ_1, σ_2 を求め、この比 σ_1/σ_2 に等しい値の p/q に對する p/q の値を前述の曲線から求める。

かくして得た p/q の値に σ_2 をかけて、換算された最大主應力をとするのである。

以上の方法は云ひ換へれば、最小主應力 σ_1 が 0 でないときの最大主應力 σ_2 を $\sigma_1=0$ の場合に換算してゐるのである。

コンクリートの壓縮強度は $\sigma_1=0$ のときの p なる強度を求めてゐるのであるから、この方法は非常に優れた利點をもつてゐる。然しこれを組部について検討すると次の如き批判の餘地がある。即ち先に筆者が述べた様に安全率の考へ方にこの方法を直して見よう。

換算された σ_2 の大きさは $\sigma_2 \times p/q$ に等しい。

前述の如く $\sigma_1/\sigma_2 = p/q$ であるから安全率 n は次の如くなる。

$$n = \frac{p}{\sigma_2} = \frac{r}{\sigma_1}$$

即ち換算すれば最小最大主應力の比 p/q が與へられた應力状態に於る最小最大主應力の比 σ_1/σ_2 と同じ値をもつ破壊の Mohr の図を描き、その最小主應力 τ と與へられた應力状態に於る最小主應力 σ_1 の比を以て安全率とすることになるのである。

従つて破壊の図に就ての p/q が起り得るすべての σ_1/σ_2 の値に就いて等しい値に求められる事を前提としてみ

る。

然るにこの前提は事實ではない。 $\tau = f(\sigma)$ に於て σ が大になるにつれて τ も大になる場合は、 γ/q の最大値は 1 より小なるある一定値になる。然るに σ_1/σ_2 は 0~1 に變化し得るのである。従つて Kammüller の方法はすべての應力狀態に成立する一般性を有しないのである。

次に Kammüller が、破壊の包絡線として用ひてゐるのは Mohr の説に従つて一つの理想的な場合を假定してゐるのであるが、この曲線はコンクリートの性質に従つて種々に變化するものと考へられ、筆者はこれを實驗的に求めようとするのである。

以上の二點が Kammüller との相異點の主たる點である。

(昭 23. 9 受付)

鐵道線路に於ける道床破壊速度

正員 高橋憲雄

The vibration of the (rail)way track ballast

By Norio Takahashi, C.E. Member

要旨：列車が或る速度で走つて居ると道床には振動が起る。此の振動は速度が早くなる程大きくなる。列車が通つたために重力の加速度と相等しい上方加速度が道床に生じた場合、此の列車速度をその軌道に於ける、その車輪の道床破壊速度とする。

本文は昭和 11 年の實驗をもととして理論並に實驗上の結果を述べたものである。

Summary.

Vibration is produced in the ballast when a train travels. The greater the velocity, the stronger the vibration. The writer defines the "Ballast Breaking Velocity" of the wheel on the track as that velocity of the train which produces an upward acceleration of the ballast equal to the downward acceleration of gravity. The article explains the theory and its development from experiments made in 1936.

目 次

- | | |
|----------------------------------|--|
| 1. 緒 言 | 8. 時間に對して正弦變化を行う、等速移動荷重に
對する減衰を考えた彈性基礎上の桁 |
| 2. 道床の上下動に關する實驗 | 9. 實驗に對する變動荷重に依る計算 |
| 3. 道床振動實驗 | 10. 高速度列車に對する計算 |
| 4. 等速一定移動荷重に對する減衰を考えた彈性基
礎上の桁 | 11. 計算に依つて求めた道床破壊速度 |
| 5. 實驗に對する一定荷重に依る計算 | 12. 加速度比から求めた道床の破壊速度 |
| 6. 小周期振動の實驗 | 13. 荷重變化の同期の一定な場合 |
| 7. 道床振動の上下動周期 | 14. 結 論 |

1. 緒 言

列車が道床破壊速度以上の速度で走ると、道床砂利に重力の加速度以上の上方加速度が働くので、道床砂利が撥上る。然も此の場合、道床には上下動と同時に水平加速度も働いて居るので、撥上った砂利は横移動をする。即ち撥出されるわけである。此のために道床砂利が施工基面に崩れ出す。道床砂利に重力の加速度以上の上方速度が働くのであるから、車輪も浮き上り勝となる。車輪にも道床砂利と同様に水平力が働くから脱線の危険も生ずることになる。

道床破壊速度は此處に新しく設けたものであるが、列車速度に關する問題として、各種の軌道に對して充分調